

このスラグは、初めに述べたように、粘性が高いため脱硫に伴うCOガスの気泡を界面近傍に内包しやすい。その例を写真1に示す。

b. 低粘性スラグ このスラグでは、低粘性のため、発生したCOガスが直ちにスラグ中を通過して攪拌するため、スラグ中のS輸送が極めて容易に行われる。この傾向はNa₂O添加量に伴って増大する。一例としてNa₂O 8%添加(Al₂O₃ 15%)のスラグに付き autoradiography の界面部分の拡大写真を写真2に示す。また、microphotometryの結果を図3に示す。

C. 標準スラグ(CaO/SiO₂ = 1.22) このスラグの場合にも低Al₂O₃のときには、かなり著しいCOガスの上昇に伴う攪拌が見られる。しかし、比較的初期で且つAl₂O₃が高く、従って粘性の高いものについては、乱されやすい拡散層の存在が見られる。

2. スラグ中で強制攪拌を行なう場合

各スラグについて、回転粘度計の回転体を使用してスラグ中の強制攪拌を行なう。二三の例におけるSの経時的变化を図4に示す。特に興味あるのは、塩基性スラグの場合である。microphotometryの結果を図5に表わす。この結果は、攪拌しない場合の結果とは著しく異なり、むしろ低粘性スラグの攪拌しない結果(図3)

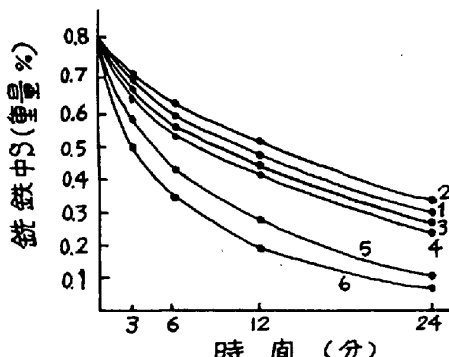


図2. 鋼鐵中Sの経時的变化
(攪拌しない場合)

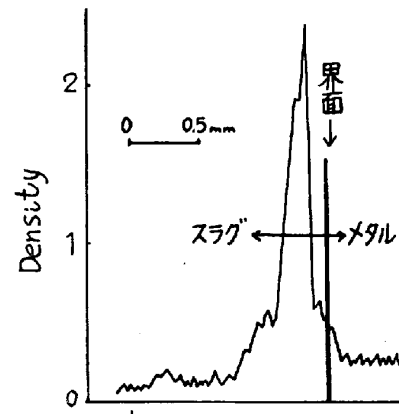


図3. 写真2に対応する microphotometry の結果

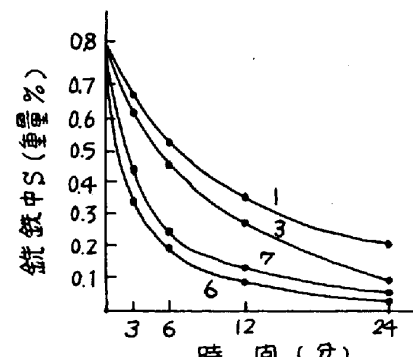


図4. 鋼鐵中Sの経時的变化
(攪拌しない場合)

と非常に良く似た結果を示している。このことは、低粘性スラグのCOガス発生による対流の効果と、強制攪拌の効果とは、界面状況に与えられる影響については本質的に類似していることを示している。

また、界面におけるCOガス発生の状態を写真3に示す。

IV. 考察 ; 1. 速度式からの偏倚 従来通り、比較的脱硫初期を取扱うものとすれば、近似的に

$$-\frac{dS'}{dt} = \frac{100A}{M} KS' \quad (1)$$

(M: メタル重量 A: 界面積 K: メタルからスラグへのS移動速度常数 S': メタル中S濃度)
が成立する。¹⁾



写真1. 攪拌しない場合の界面におけるガス気泡(ハフ3)



写真2. 界面部分の拡大写真×50
(右側メタル 左側スラグ、スラグ6)

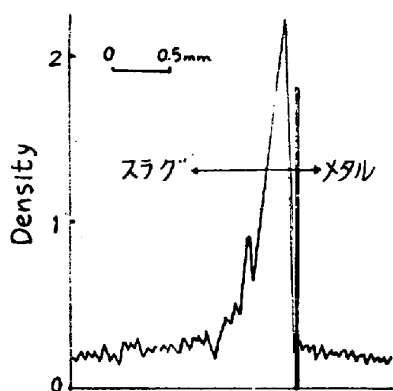


図5. 攪拌しない場合の界面におけるSの濃度曲線

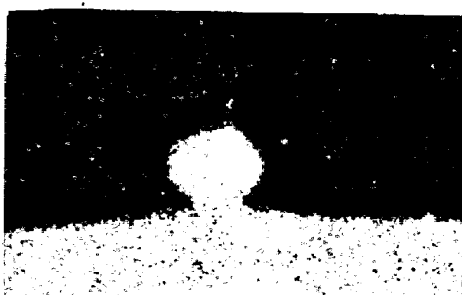


写真3. 界面におけるCOガス気泡(攪拌して場合-スラグ3)

$t = 0$ のとき、 $S' = S'_0$ とすれば、

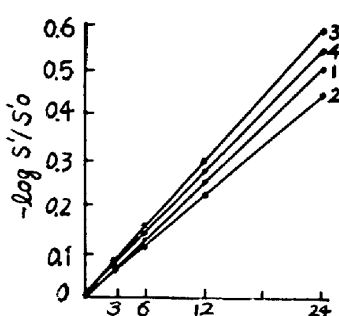
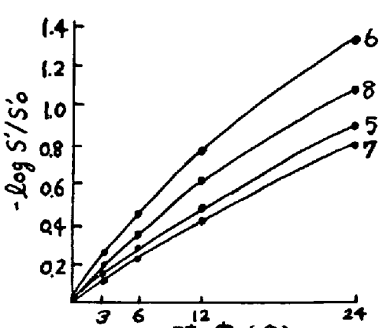


図6.- $\log S'/S'_0$ 対時間(標準スラグ) 図7.- $\log S'/S'_0$ 対時間(低粘性スラグ)
及(中性スラグ)

$$-\log S'/S'_0 = \frac{100A}{M} Kt \quad (2)$$



がメタル中S濃度に一次比例するといふ仮定が正しければ、 $-\log S'/S'_0$ 対時間のplotは近似的に直線で表わされる筈である。図2のデータを、以上的方法によってPlotして結果を図6、図7に示す。

比較的高粘性のスラグでは殆んど直線によって近似されるが、低粘性スラグにおいては、図7に見られるように、直線に対して正の偏倚が見られる。(1)式は、脱硫過程が拡散律速であると仮定した式と本質的に equivalent であるから、スラグ中Sの拡散律速であれば、 $-\log S'/S'_0$ 対時間のplotも直線にすることが要求される。ところが、図7の如き直線からの偏倚が見られるということは、単純な拡散では説明出来ないことを示している。

2. 次数の解析 速度式がメタル中S濃度の一次式として表現出来ない場合があることがわかったので、n次と仮定した。即ち $-\frac{dS'}{dt} = \frac{100A}{M} K(S')^n \quad (3)$ 両辺の対数をとると

$$\log(-\frac{dS'}{dt}) = n \log S' + \log \frac{100A}{M} K \quad (4) \quad -\frac{dS'}{dt} \text{ 及び } \log S' \text{ の対数}$$

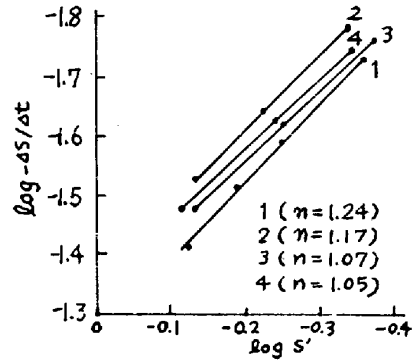


図8. $\log -dS/dt$ 対 $\log S'$

plotによって得られた直線は図8、図9にこれを示す。各直線から求めたnの値は表記にこれを示す。特徴的に云えることは、低粘性スラグでは $n > 1$ であることがある。中性スラグ、塩基性スラグはほど $n = 1$ で近似される。

このように比較的初期に、一次からの偏倚が見られるることは既にいくつかの指摘があり、特に齊藤、川合²⁾は、MgO を含む低粘性スラグにその傾向が著しいことを示している。

また、試みに Ohtani and Gokcen³⁾ のデータのうち、特に電流を流していない場合においてCOガスの bubblingを行なわない場合、行なう場合について再計算を行なった。

COガス bubblingを行なわない場合には1に近い値をとるが、CO bubblingを行なう場合には、一次からの偏倚はかなり著しく、次数は約1.9となることがわかった。

この次数解析の結果と、autoradiography の結果を総合すると、次数の高いものは、COガス気泡のスラグ中上昇及び、それに伴う界面近傍の乱れが大いに関係していると考えられる。

また、スラグ中の攪拌作用も一般に次数を増加せしめ、且つ脱硫速度を向上させる傾向がある。(表2)

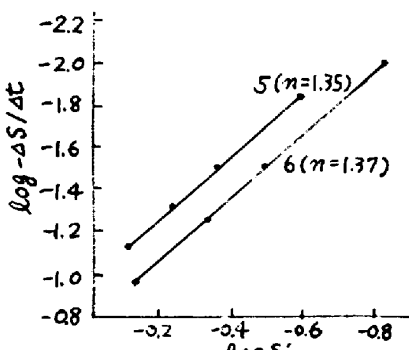


図9. $\log -dS/dt$ 対 $\log S'$ (低粘性スラグ)

S. Ramachandran⁴⁾ 等の実験データの再計算して結果も、同様の傾向があり、スラグの粘性との相関性も認められる。ガス上昇によるスラグ内対流速度が、粘性依存であるとするならば、スラグ成分の変化により次数の変化が起きるのは当然と考えられる。

即ち、C. Wagner⁵⁾ の指摘しているように、境界膜厚さそのものが変化する場合、しかもそれがメタル中 S 濃度と関連している場合には、一次式で表現出来ない場合が生じるからである。

速度式は、近似的には、

$$J = \frac{D''}{\delta''} L_s C' \quad (5) \quad \begin{array}{l} (J: S \text{ 移動速度}, C': \text{メタル中 } S \\ \text{濃度}, \delta'': \text{スラグ側境界膜厚さ}) \end{array}$$

の形で表わされるが、C' そのものが CO ガスによる攪拌で変化し、その変化量が J そのものに次のようす形式で関連しているものとする。

$$\delta'' = \beta(C')^{-\alpha} \quad (6) \quad \text{これを(5)式に代入して} \quad J = \frac{D''}{\beta} L_s C'^{1+\alpha} \quad (7)$$

を得る。つまり $\alpha > 0$ のときは、見掛け上 S' 濃度に換算して $n > 1$ となり得る。従って本質的に移動律速ではあっても、界面に CO ガス発生の影響が現われる場合速度式はメタル中 S 濃度に、一次比例しない。

表2. 各スラグにおける次数

スラグNo.	静止状態	攪拌状態	
1	1.24	1.48	標準スラグ
2	1.17	—	
3	1.07	1.16	塩基性スラグ
4	1.05	—	
5	1.35	1.56	低粘性スラグ (Na ₂ O 添加)
6	1.37	1.61	
7	1.36	—	低粘性スラグ (CaF ₂ 添加)
8	1.26	1.55	

こともあり得ることがわかる。このように、CO ガス bubbling の結果、及び強制攪拌の場合のデータ等を考慮すると何等かの原因で発生する界面の変化が脱硫効果を促進し、その原因が、メタル中 S 濃度に関連している場合には、一般に $n > 1$ となるという考え方が成立する。従って、脱硫効果の向上という観点からすれば、このように攪拌作用を向上せしめ、スラグ中 S の輸送を容易ならしめるためには、スラグ粘性を低下させねばよいということが結論出来る。

V. 結 論 ; 以上実験及び考察の結果、次の結論を得た。

1. 塩基性スラグで、融点に近い高粘性のスラグでは、界面に CO ガス気泡が内包され、界面の小さな乱れが見られるが、一般に非正常の自然拡散が行なわれている様子である。次数 n はやや > 1 より大きい。
2. Na₂O 等を加えた低粘性スラグでは、CO ガスは直ちに界面より取除かれ、スラグ中攪拌を生起し、脱硫を促進している。次数解析の結果は $n = 1.35 \sim 1.48$ となる。メタル中 S 濃度と関連する発生 CO ガスによる界面への影響が、境界層の厚みを減少させて、脱硫効果を促進させているものと考えることが出来る。
3. スラグ中攪拌の効果は、一般に脱硫速度を向上させ、且つ次数をも増大させる傾向がある。また塩基性スラグについては、高粘性のため、界面の乱れが小さいことにより次数は余り増大しない。
4. スラグ中攪拌の界面に与える影響は、攪拌を行なわない場合の低粘性スラグにおける CO ガス発生の影響と本質的に類似している。

参考文献

- 1). R.G. Ward, et al.; JISI., 196 (1960) 392
- 2). 斎藤, 川合; 日本国金属学会誌 19 (1955) 170
- 3). Ohtani, et al.; Physical Chemistry of Process Met., AIME, (1959) 1213
- 4). S. Ramachandran, et al.; Trans. AIME 206 (1956) 1549
- 5). C. Wagner; Physical Chemistry of Steelmaking (1958). 237 John Wiley & Sons